响应曲面法优化 Fenton 法氧化降解 废闪烁液的条件

刘学军1,龙兴贵1,*,金武剑1,2,矫彩山2,谭昭怡1,王 露1

1. 中国工程物理研究院 核物理与化学研究所,四川 绵阳 621000; 2. 哈尔滨工程大学 核科学与技术学院,黑龙江 哈尔滨 150001

摘要:采用响应曲面法优化 Fenton 法氧化降解闪烁液的的实验条件。以 FeSO₄ 浓度、 H_2O_2 浓度、pH、时间和温度为考虑因素,以闪烁废液样品的总体化学需氧量(COD)去除率为响应,进行 5 因子中心组合实验设计。结果表明,预测模型的回归性好,拟合程度较高,方程的决定系数 R^2 为 0. 938 1,校正的决定系数 R^2 为 0. 880 1。预测最大的 COD 去除率为 87. 19%,对应的最优实验条件为: FeSO₄ 浓度为 0. 99 mmol/L, H_2O_2 浓度为 57. 50 mmol/L,PH 值为 2. 48,时间 68. 53 min 和温度 76. 59 $mathbb{C}$ 。该实验条件下 COD 去除率实验平均值为 85. 81% $mathbb{N}$ ($mathbb{N}$),实验结果与预测的 COD 去除率相对误差为 1. 58%,说明响应曲面法适应于优化 Fenton 法氧化降解闪烁液的试验条件。

关键词:Fenton氧化;响应曲面法;废闪烁液;方差分析

中图分类号:TL941.19 文献标志码:A 文章编号:0253-9950(2018)04-0226-08

doi:10.7538/hhx.2018. YX.2017045

Optimization of Fenton Degradation Treatment of Liquid Scintillation Waste by Response Surface Methodology

LIU Xue-jun¹, LONG Xing-gui^{1,*}, JIN Wu-jian^{1,2}, JIAO Cai-shan², TAN Zhao-yi¹, WANG Lu¹

Institute of Nuclear Physics and Chemistry, China Academy of Engineering Physics, Mianyang 621000, China;
 College of Nuclear Science and Technology, Harbin Engineering University, Harbin 150001, China

Abstract: Response surface methodology (RSM) was employed to obtain the optimization experiment conditions of the Fenton degradation treatment of liquid scintillation waste. 5 factors central composite design with RSM was used, in which the factors are FeSO₄ concentration, H_2O_2 concentration, pH, time and temperature, while the waste sample's total COD removal rate was chosen as the response. Coefficient of determination R^2 is 0. 938 1 and adjust coefficient of determination R^2_{Adj} is 0. 880 1, which indicate that the model fits well and predicates the Fenton degradation process well. The optimal experiment conditions are that the initial Fe²⁺ concentration is 0.99 mmol/L, and the initial H_2O_2 concentration is

57. 50 mmol/L, and pH is 2.48, and the temperature is 76.59 $^{\circ}$ C, and the reaction time is 68.53 minutes. Under these optimal experiment conditions, the predicted maximum COD removal rate is 87.19%, and the actual COD removal rate of the waste sample is 85.81% (n=3). The relative error is 1.58%, which indicate that RSM is suitable for the design and optimization of the Fenton oxidation processes.

Key words: Fenton reagent; response surface methodology; liquid scintillation waste; analysis of variance

液闪技术在3H、14C、239Pu等放射性核素分析 测量中有广泛应用,由此而产生大量放射性废闪烁 液。废闪烁液具有高毒性、易燃等特点,长期存放 具有较高的安全隐患和环境风险,应尽快将这些放 射性有机废液进行安全地处理处置。目前,国内在 废闪烁液的处理方面几乎没有相关报道,国外对废 闪烁液的处理一般方式是将其进行焚烧[1]、精馏[2] 或者萃取等。但是焚烧法对粘度高且含挥发性物 质的废液难以实现完全焚烧,精馏法分离步骤繁 琐。近年来,基于有机物彻底氧化的高级氧化法在 有机物处理方面引起了许多研究者的注意。其中, Fenton 法氧化技术是亚铁离子与过氧化氢混合所 呈现出的超强氧化技术,具有无选择的彻底氧化特 性[3-6],能够产生羟基自由基•OH来高速率氧化降 解大部分有机污染物,最终产物为 CO₂、H₂O 及一 些小分子有机酸,比如甲酸、乙酸、草酸等[7-14]。

响应曲面法是数学方法和统计方法结合的产物,是用来对所感兴趣的响应受多个变量影响的问题进行建模和分析的,其最终目的是优化该响应值^[15]。响应曲面法作为一种试验设计方法,可通过建立连续变量-响应曲面模型,对影响响应的各变量之间的交互作用进行评价,确定各变量的最佳水平范围。而且响应曲面法所需要的试验组数相对较少,可节省人力物力。

针对 Fenton 法氧化降解闪烁液的试验条件,以 FeSO₄ 浓度、 H_2O_2 浓度、pH、时间和温度为影响因素,以闪烁废液样品的总体化学需氧量 (chemical oxygen demand, COD) 去除率为响应,进行 1/2 实施的 5 因子中心组合实验设计,采用响应曲面法,将实验值与响应值整理并拟合,绘制出连续的响应曲面,直观地对各个因素进行分析,从而优化 Fenton 法氧化降解闪烁液的试验条件。

1 实验部分

1.1 主要材料与仪器

 $FeSO_4 \cdot 7H_2O$,分析纯,广东省化学试剂

工程技术研究开发中心; $30\% H_2O_2$, 分析纯, 成都市科龙化工试剂厂; Ultima Gold uLLT型闪烁液,主要成分为二异丙基萘、乙氧基壬基酚、二乙二醇单丁醚、壬基酚聚氧乙烯醚, PerkinElmer公司。

HI2216 酸度计,意大利哈纳;JH10003 电子 天平,精度 0.001 g,上海越平科学仪器有限公司; JH-12 COD 恒温加热器,青岛崂山电子仪器总厂 有限公司。

1.2 实验方法

1. 2. 1 Fenton 法氧化实验 采用 Ultima Gold uLLT 型闪烁液模拟闪烁废液,取 1 g/L(COD 质量浓度约为 2 600 mg/L)的模拟闪烁废液 20 mL置于烧杯中,再将该烧杯放置在恒温水浴锅内。调节样品溶液 pH 值,启动机械搅拌装置,搅拌速率为 200 r/min。向烧杯中加入 10 mL 一定浓度的 FeSO4 溶液,混合充分后向其中加入 10 mL 一定浓度的 FeSO4 溶液,混合充分后向其中加入 10 mL 一定浓度的 H_2O_2 溶液。反应一定时间后,向烧杯中加入 NaOH 溶液,调节样品溶液 pH 值于 9~10 之间,终止反应。以 COD 表征 Fenton 试剂在不同 FeSO4 浓度、 H_2O_2 浓度、PH、时间和温度条件下的氧化效率,PH 不同 PH 不可 PH 不同 PH 不可 PH 不同 PH 不同 PH 不同 PH 不可 PH 不同 PH 不同 PH 不可 PH

 $\eta = 1 - \text{COD}_{\text{f}}/\text{COD}_{\text{i}}$

式中: COD_i、COD_f 分别为反应前、后样品溶液 COD 值。

1. 2. 2 响应曲面优化实验 以 Fenton 法氧化降解实验结果为输入,应用响应曲面法,考察不同 FeSO₄ 浓度、 H_2O_2 浓度、pH 值、时间和温度时对应的 COD。采用中心组合实验设计对 Fenton 法氧化闪烁废液反应进行 5 因子实验设计,共 32 个实验点。其中 A、B、C、D、E 分别对应上述 5 个因素, $+\alpha$ 、+1、0、-1、 $-\alpha$ 为各因素取值水平, α 值取为 2,具体各因素编码情况列于表 1。各因素取值主要参考文献[7]及 Ultima Gold uLLT 型闪烁液产品说明。

表 1 实验因素实际水平及编码

Table 1 Levels and codes of experimental factors

自变量	因素编码	编码水平						
	四系 細 円	-α	-1	0	+1	$+_{\alpha}$		
FeSO ₄ 浓度,mmol/L	A	0.10	0.55	1	1.45	1.90		
H_2O_2 浓度, $mmol/L$	B	25	50	75	100	125		
рН	C	1	2	3	4	5		
时间,min	D	30	45	60	75	90		
温度,℃	E	30	45	60	75	90		

2 结果与讨论

2.1 响应曲面实验结果

响应曲面法的设计运行方案及其实际观测结 果和模拟预测结果列于表 2。

2.2 预测模型方程及显著性检验

应用 Design Expert 对表 2 结果进行最小二乘法拟合,得到以 FeSO₄ 浓度、H₂O₂ 浓度、pH、

时间、温度为自变量,样品溶液的 COD 去除率为 因变量的数学预测模型:

$$\begin{split} \eta &= 0.72 + 0.047A + 0.021B - 9.187 \times 10^{-3}C + \\ 0.044D + 0.15E - 6.312 \times 10^{-4}AB - 0.049AC - \\ 2.381 \times 10^{-3}AD - 0.056AE + 0.011BD - 0.056CE - \end{split}$$

对于该二次回归方程的方差分析及显著性检验的具体结果列于表 3。

 $0.016DE - 0.061A^2 - 0.033C^2 - 0.031E^2$

表 2 响应曲面实验设计方案和结果

Table 2 RSM experiment design and results

Table 2 Kowi experiment design and results								
运行序	A	В	С	D	Е	η实验值	η预测值	
1	± 1	+1	± 1	-1	-1	0.494 3	0.4915	
2	-1	-1	+1	-1	-1	0.3528	0.3597	
3	$+\alpha$	0	0	0	0	0.6037	0.5689	
4	0	0	$+_{\alpha}$	0	0	0.473 3	0.5646	
5	0	0	0	$-\alpha$	0	0.5745	0.628 0	
6	0	0	0	$+_{\alpha}$	0	0.743 2	0.8044	
7	-1	+1	-1	-1	-1	0.167 2	0.189 0	
8	+1	+1	± 1	+1	+1	0.747 3	0.6780	
9	± 1	± 1	-1	-1	+1	0.826 6	0.8327	
10	0	0	0	0	$+\alpha$	0.822 3	0.899 1	
11	± 1	-1	-1	-1	-1	0.467 0	0.477 6	
12	± 1	-1	± 1	-1	+1	0.5762	0.586 1	
13	0	0	0	0	0	0.689 4	0.716 2	
14	-1	-1	± 1	± 1	+1	0.778 2	0.737 3	
15	± 1	-1	-1	± 1	+1	0.8338	0.844 9	
16	± 1	± 1	-1	± 1	-1	0.5635	0.6322	
17	0	0	-α	0	0	0.6634	0.6014	
18	-1	± 1	-1	+1	+1	0.8298	0.8334	
19	$-\alpha$	0	0	0	0	0.318 6	0.3827	
20	0	$+_{\alpha}$	0	0	0	0.739 1	0.757 3	
21	0	0	0	0	0	0.8067	0.716 2	
22	0	0	0	0	0	0.732 1	0.716 2	
23	0	0	0	0	- α	0.335 1	0.287 6	
24	-1	-1	-1	-1	+1	0.765 3	0.729 5	
25	0	$-\alpha$	0	0	0	0.6914	0.675 1	
26	-1	-1	-1	± 1	-1	0.2628	0.2709	
27	0	0	0	0	0	0.7313	0.716 2	
28	0	0	0	0	0	0.6964	0.716 2	
29	-1	+1	+1	-1	+1	0.786 0	0.7180	
30	0	0	0	0	0	0.729 3	0.7162	
31	-1	± 1	+1	+1	-1	0.5800	0.5264	
32	± 1	-1	± 1	+1	-1	0.5609	0.5664	

	表 3	回归	方程的方	差:	分析结果	:	
Table 3	Resu	lts of	analysis	of	variance	of	model

来源	总离差平方和	自由度	均方差	F 值	Prob>F	显著性
模型	0.967 152 1	15	0.064 476	16. 166 55	< 0.000 1	显著
A	0.052 052 22	1	0.052 052	13.051 28	0.002 3	显著
B	0.010 131 15	1	0.010 131	2.540 227	0.130 5	
C	0.002 025 844	1	0.002 026	0.507 948	0.486 3	
D	0.046 666 62	1	0.046 667	11.700 92	0.0035	显著
E	0.560 928 95	1	0.560 929	140.644 1	<0.0001	显著
AB	6.375 62×10^{-6}	1	6.38 \times 10 ⁻⁶	0.001 599	0.968 6	
AC	0.038 425 801	1	0.038 426	9.634 665	0.006 8	显著
AD	9.07256×10^{-5}	1	9.07×10^{-5}	0.022 748	0.882 0	
AE	0.050 433 931	1	0.050 434	12.645 51	0.002 6	显著
BD	0.001 851 151	1	0.001 851	0.464 147	0.505 4	
CE	0.050 097 631	1	0.050 098	12.561 19	0.002 7	显著
DE	0.003 934 426	1	0.003 934	0.986 495	0.335 4	
A^2	0.107 362 643	1	0.107 363	26.919 49	<0.0001	显著
C^2	0.032 968 906	1	0.032 969	8. 266 435	0.011 0	显著
E^2	0.028 045 78	1	0.028 046	7.032 038	0.017 4	显著
残差	0.063 812 5	16	0.003 988			
失拟项	0.055 15	11	0.005 014	2.893 958	0.125 3	不显著
纯误差	0.008 662	5	0.001732			
总离差	1.030 965	31				

模型方程的 F 值约为 16. 167, Prob > F 值小 于 0.000 1,也即表明了该模型是显著的。模型失 拟项的 Prob > F 值为 0.125 3,表明该模型的失 拟项并不显著,也即认为该预测模型拟合效果良 好,其中无失拟因素的存在,可以用该模型经过计 算得到预测值来替代实际实验值而进行响应曲面 的分析。此外,通过拟合得到的模型方程的变异 系数 CV 为 10.13%,决定系数 R^2 和校正决定系 数 R^2_{Adi} 分别为 0.938 1 和 0.880 1,信噪比参数 (最适精度)Adeq Precision 为 15.90。由此可知, 模型方程的决定系数 R^2 和校正决定系数 R^2 Add 的 值不但较高,而且也较为接近,这表明了该方程的 拟合程度较好,拟合的响应值与实际实验得到的 值更为一致。最适精度 Adeq Precision 为 15.90,其表示信号与噪音的比例,一般该值需要 大于4,证明模型采用的信号合适,可以在模型所 确定的空间范围内应用。同时也可看出,时间与 FeSO₄ 浓度、H₂O₂ 浓度和温度之间的相互作用 并不显著。

2.3 COD 去除率的响应曲面分析

图 1 至图 7 通过响应曲面图和对应的等值线 图表明了各因素之间的相互作用情况。由图 1 可 知,FeSO4 浓度与 pH 值之间的交互作用明显,固 定 FeSO4 浓度,且当其处于较低水平时,样品的 COD 去除率随 pH 值增大而先增加后减小;而当 FeSO₄ 浓度为较高水平时,闪烁液的 COD 去除 率随 pH 值的增加而降低。这是因为当 Fe2+ 的 初始浓度比较低时,会被 H₂O₂ 迅速全部氧化成 Fe3+,此时 pH 值也较低,溶液中的 H+会抑制 Fe³⁺ 的还原反应,因此由催化产生的•OH 产量降 低,反应效率差。所以低 Fe²⁺浓度时适当的升高 pH有利于提高反应的氧化效率。而当 pH>3 时,Fe²⁺ 在样品溶液中形成络合离子,降低了催化 效果。在 Fe²⁺浓度处于较高水平时,其对 pH 较为 敏感,溶液中 pH 稍有升高时,由 Fe2+形成的带有 Fe(Ⅱ)的络合离子数量增加,影响催化效果。

由图 2 可看出,当反应温度固定为较低水平的任一值时,样品溶液COD去除率随FeSO₄浓

230 核化学与放射化学 第40卷

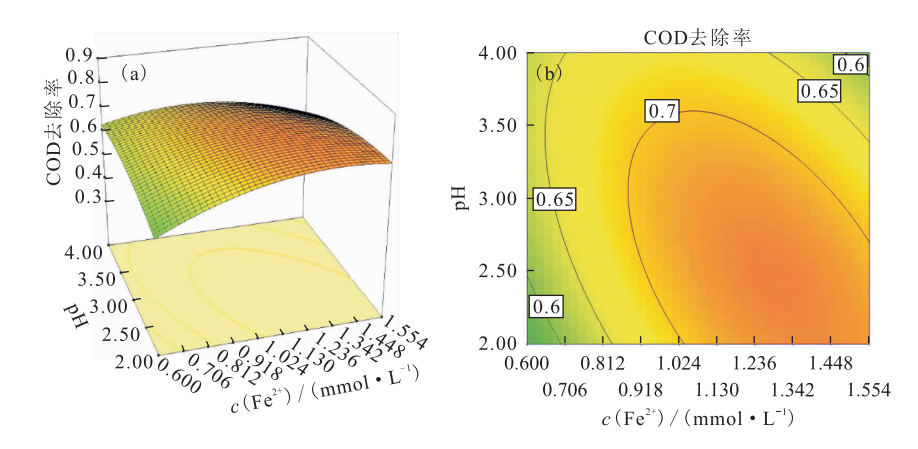


图 1 FeSO₄ 浓度与 pH 之间交互作用对 COD 去除率影响的响应曲面(a)及等值线(b)图 Fig. 1 Response surface plot(a) and contour plot(b) of effect of interaction between FeSO₄ concentrations and pH on COD removal rate

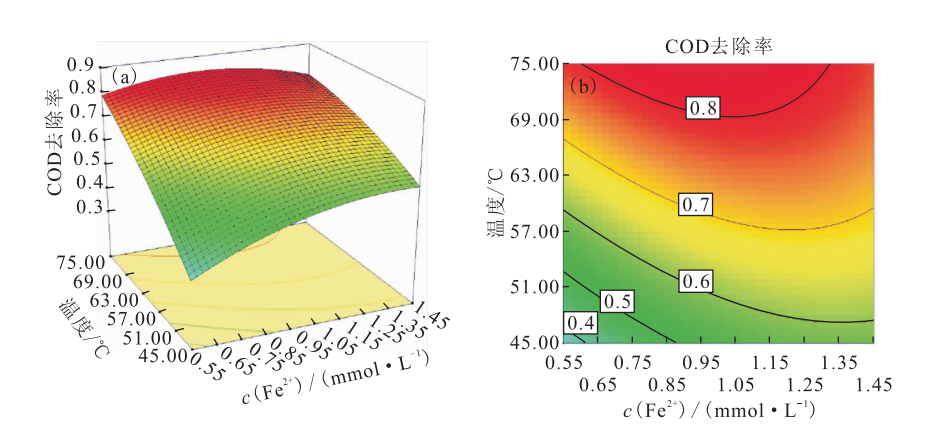


图 2 FeSO₄ 浓度与温度之间交互作用对 COD 去除率影响的响应曲面(a)及等值线(b)图 Fig. 2 Response surface plot(a) and contour plot(b) of effect of interaction between FeSO₄ concentrations and temperature on COD removal rate

度的增加而增加。然而在温度处于较高水平的任一值时,样品的 COD 去除率随 FeSO₄ 浓度的增加而先增大后减小。可能的原因是在温度较低时,反应体系的平均分子动能较小,而随着体系的催化剂 Fe²⁺浓度增加,H₂O₂ 分解出的羟基自由基•OH产量增大,所以样品的 COD 去除率会增大。在 FeSO₄ 浓度不变时,随温度的升高样品溶液的 COD 去除率增加。说明增加温度时,Fenton试剂和样品有机物的分子平均动能增加,反应物分子之间的碰撞概率增大,从而使羟基自由基•OH 的产率增大,使其与有机物反应速率加快,因此氧化反应的效率提高。然而,在高温度、高 FeSO₄ 浓度的试验条件时,过量的 Fe²⁺会与有机废物共同争夺羟基自由基,从而使 COD 去除率降低。而且其与表 3 结果一致,FeSO₄ 浓

度与温度之间具有明显的交互作用。此外,由于

闪烁废液自身具有放射性等特殊性质,实际的操作温度不宜过高。

由图 3 可看出,pH 与温度之间交互作用明显,当 pH 固定为任意值时,随着温度的提高,Fenton 法氧化效率均有所升高。但是,在 pH 值处于较高水平状态下,由于升高温度导致的闪烁液 COD 去除率升高的速率比升高相同温度而pH 水平较低时小,等值线在 pH = 2 处比在pH=4处密集。当温度较高时,随着 pH 值的增大,样品溶液的 COD 去除率逐渐降低,但是,在温度较低时,随着 pH 值的增大,溶液的 COD 去除率增大。

当反应体系处于较高的温度时,活化分子增多, H_2O_2 分解产生羟基自由基•OH的能力增强,因此氧化效率增加。但是在 $60\sim75$ \mathbb{C} 区间内,pH=4左右时, H_2O_2 分解出氧气的能力增强。

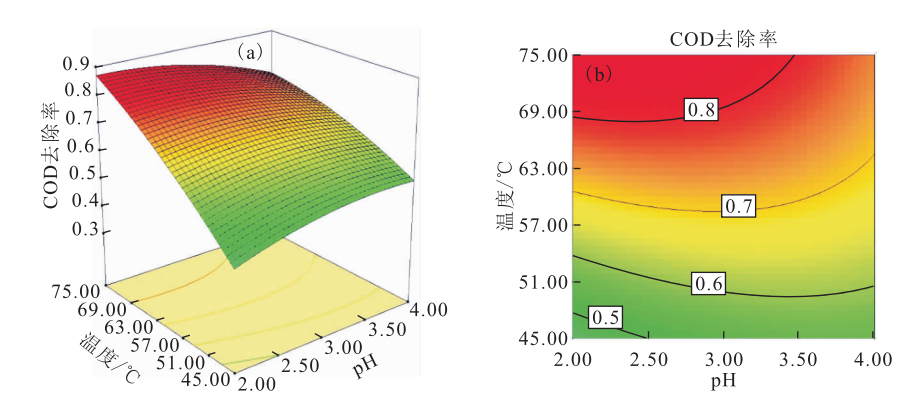


图 3 pH 与温度之间交互作用对 COD 去除率影响的响应曲面(a)及等值线(b)图 Fig. 3 Response surface plot(a) and contour plot(b) of effect of interaction between pH and temperature on COD removal rate

由于 H_2O_2 在水中逐步电离,呈弱酸性状态,所以溶液碱性增加时, H_2O_2 加速电离,而过氧根离子比 H_2O_2 更容易分解出氧气,而 Fenton 试剂中主要起氧化作用的是羟基自由基。相对比的是,在较高温度时,处于强酸性水环境中的 H_2O_2 彻底分解为氧气和水的能力相对较差。因此,在较高温度和 pH 值较大的环境中, H_2O_2 分解出羟基自由基•OH 的量相对减少,该条件下的 Fenton 试剂氧化效率较低。

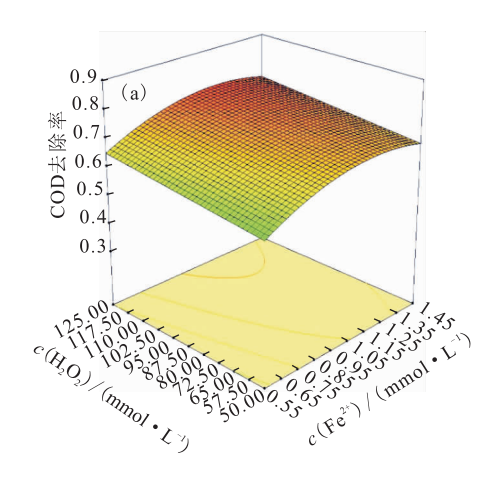
由图 4 可看出,当固定 FeSO₄ 浓度时,样品溶液的 COD 去除率随 H₂O₂ 浓度增大而增加。因为反应体系中羟基自由基•OH 来源自 H₂O₂ 的分解作用,H₂O₂ 浓度的增加有利于提高羟基自由基•OH 的产量。当固定 H₂O₂ 浓度时,闪烁液的 COD 去除率随 FeSO₄ 浓度的升高而先增加后减小,而且可认为转折点均在FeSO₄ 浓度为

1. 15 mmol/L 附近处。因为较高浓度的 Fe^{2+} 会消耗尚未与有机物发生反应的羟基自由基•OH,从而降低了氧化效率。由表 3 可认为, $FeSO_4$ 浓度与 H_2O_2 浓度,在上述实验取值水平内,两者之间的相互作用并不显著。

由图 5一图 7 可以看出,随着反应时间的延长,不论其它条件如何变化,样品溶液的 COD 去除率会增加。但是也由此看出,时间与 $FeSO_4$ 浓度、 H_2O_2 浓度和温度之间的相互作用并不显著。

2.4 最优实验条件的获取与验证

根据响应曲面的模型方程可以求解得到闪烁 废液的 COD 去除率最大值时的实验条件。在 FeSO₄ 浓度在 (0.1,2) 区间内、 H_2 O₂ 浓度在 (25,125) 区间内、pH 值在(1,5) 区间内、时间在 (30,90) 区间内和温度在(30,90) 区间内和温度在(30,90) 区间内,同时考虑到闪烁废液自身具有放射性等特殊性质,为防



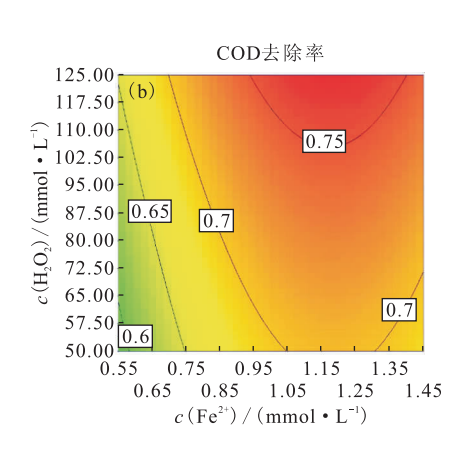
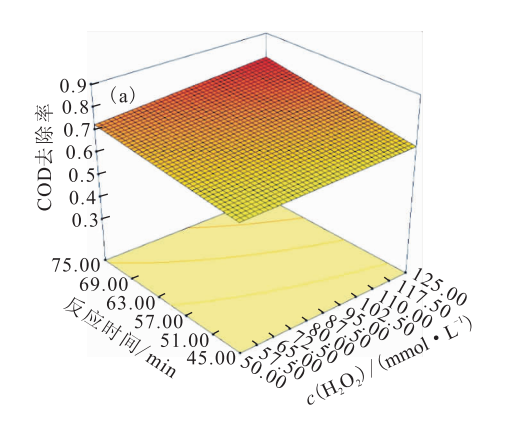


图 4 FeSO₄ 浓度与 H_2O_2 浓度之间交互作用对 COD 去除率影响的响应曲面(a)及等值线(b)图

Fig. 4 Response surface plot(a) and contour plot(b) of effect of interaction between FeSO₄ concentration and H₂O₂ concentration on COD removal rate

232 核化学与放射化学 第40卷

止放射性核素挥发逃逸,认为寻找到的样品 COD 去除率的最大值的实验条件,即为最优实验条件。 在实验区间内样品溶液的 COD 去除率计算预测最 大值为 87. 19%,此时 FeSO₄ 浓度为 0. 99 mmol/L、 H_2O_2 浓度为 57. 50 mmol/L、pH 值为 2. 48、时间为 68. 53 min、温度为 76. 59 $^{\circ}$ C,为最优实验条件。



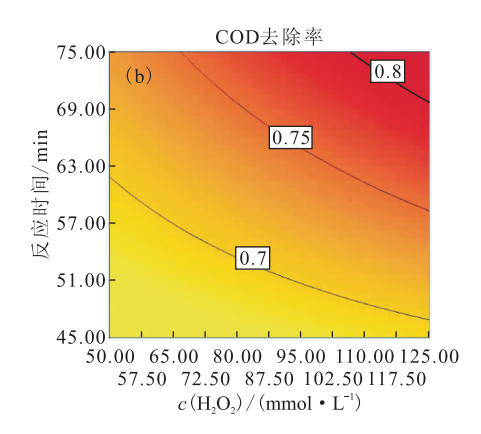
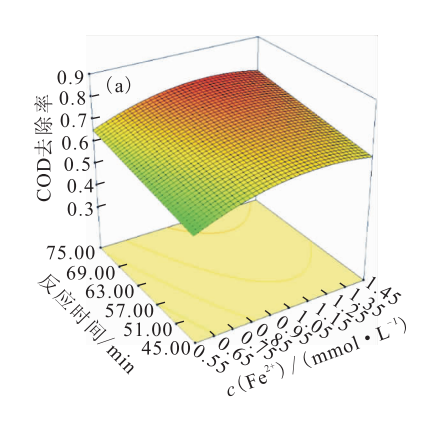


图 5 H₂O₂ 浓度与时间之间交互作用对 COD 去除率影响的响应曲面(a)及等值线(b)图 Fig. 5 Response surface plot(a) and contour plot(b) of effect of interaction between H₂O₂ concentration and time on COD removal rate



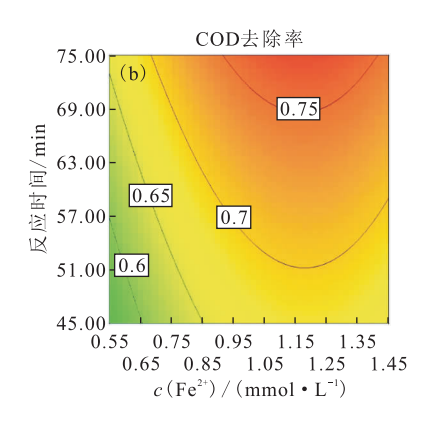
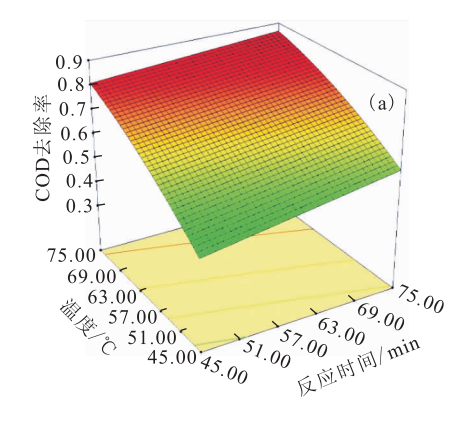


图 6 FeSO₄ 浓度与时间交互作用对 COD 去除率影响的响应曲面(a)及等值线(b)图 Fig. 6 Response surface plot(a) and contour plot(b) of effect of interaction between FeSO₄ concentration and time on COD removal rate



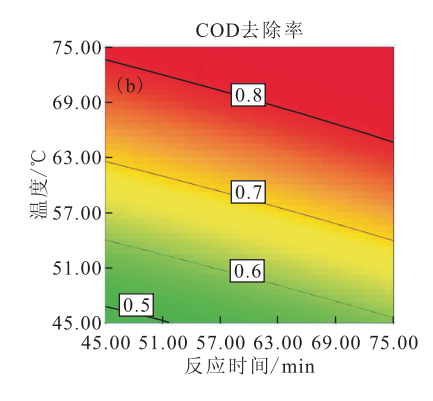


图 7 时间与温度之间交互作用对 COD 去除率影响的响应曲面(a)及等值线(b)图 Fig. 7 Response surface plot(a) and contour plot(b) of effect of interaction between time and temperature on COD removal rate

为验证最优实验条件的准确度,在所求得的 最优实验条件下进行验证实验,分别进行三组平 行实验,并将实际的芬顿氧化闪烁液的 COD 去除率与预测结果相比较,具体结果列于表 4。

表 4 Fenton 法氧化降解闪烁液的最优实验条件验证结果

Table 4 Results of verification of optimization experiment condition on Fenton reagent degrading liquid scintillation

$c({ m FeSO_4})/$	$c(H_2O_2)/$	рН	时间/min	温度/℃	COD 去除率/%			
$(mmol \cdot L^{-1})$	$(mmol \cdot L^{-1})$				1	2	3	平均值
0.99	57. 50	2.48	68.53	76.59	85.95	85.86	85.62	85. 81

由表 4 可知,在上述通过计算得到的实验条件下,实际芬顿试剂氧化闪烁液的 COD 去除率平均值为 85.81%(n=3),与计算预测值 87.19%相对误差为 1.58%,证明该计算模型预测效果良好。

3 结 论

- (1) Fenton 试剂可有效地氧化降解闪烁废液,样品溶液的总体 COD 去除率可达到 85%以上。
- (2) 在响应曲面法优化得到的 Fenton 法氧化降解闪烁废液的最优实验条件下,预测的样品溶液 COD 去除率为 87.19%(n=3),实际实验结果平均值为 85.81%,相对误差仅为 1.58%,表明响应曲面法可简单高效地优化 Fenton 法氧化实验条件。

参考文献:

- [1] 别如山,杨励丹,李季,等. 国内外有机废液的焚烧 处理技术[J]. 化工环保,1999,19:148-154.
- [2] 周连泉. 放射性污染有机闪烁液的处理[J]. 辐射防护通讯,1994(1):33-38.
- [3] Makhotkina O A, Preis S V, Parkhomchuk E V. Water de-lignification by advanced oxidation processes: homogeneous and heterogeneous UV/Fenton and H₂O₂ photo-assisted reactions[J]. Appl Catal, B, 2008, 84 (3/4): 821-826.
- [4] Perez M, Torrades F, Domenech X, et al. Removal of organic contaminants in paper pulp effluents by AOPs: aneconomic study[J]. J Chem Technol Biotechnol, 2002, 77(5): 525-532.
- [5] Iván M O, Joan R, Francesc T. Environmental assessment of different advanced oxidation processes

- applied to a bleaching kraft mill effluent[J]. Chemosphere, 2009, 62(1): 9-16.
- [6] Yang M, Hu J, Ito K. Characteristics of Fe²⁺/ H₂O₂/UV oxidization process[J]. Environ Technol, 1998, 19(2): 183-191.
- [7] 王勇,李伟光,宿程远,等.响应曲面法优化均相 Fenton深度处理皮革废水[J].环境科学学报, 2012,32(10);2408-2414.
- [8] Chen R, Pignatello J J. Role of quinone intermediates as electron shuttles in Fenton and photo assisted Fenton oxidations of aromatic compounds [J]. Environ Sci Technol, 1997, 31(8): 2399-2406.
- [9] Kang N, Lee DS, Yoon J. Kinetic modeling of Fenton oxidation of phenol and monochlorophenols[J]. Chemosphere, 2002, 47(9): 915-924.
- [10] Neyens E, Baeyens J. A review of classic Fenton's peroxidation as an advanced oxidation technique[J].

 J Hazard Mater, 2003, 98: 33-50.
- [11] 王利平,李祥梅,沈肖龙,等.响应面方法优化 Fenton 试剂处理甲萘酚废水[J]. 环境工程学报,2015 (4):1797-1802.
- [12] Buxton G V, Greenstock C L. Critical review of rate constants for reactions of hydrated electrons[J]. J Phys Chem Ref Data, 1988(2): 513-886.
- [13] 陈国丰,陈文松.响应面法优化印染废水的脱色研究[J]. 环境科技,2013,26(1):8-12.
- [14] Bielski B H, Cabelli D E, Arudi R L. Reactivity of H_2O_2/O_2 -radicals in aqueous solution [J]. J Phys Chem Ref Data, 1985(4): 1041-1100.
- [15] 王仁官. 试验设计与分析[M]. 北京:中国统计出版 社,1998.
- [16] 环境保护部. GB 11914—89 水质化学需氧量的测定 重铬酸盐法[S]. 北京:中国标准出版社,1989.